

炭素繊維フレキシブル筋を用いたコンクリート橋脚の補強効果について

Reinforcing effect of concrete pier reinforced with carbon fiber flexible reinforcement

北海道大学大学院	○学生員	大久保 征一郎 (Seiichiro Okubo)
北海道大学大学院	正会員	佐藤 靖彦 (Yasuhiko Sato)
北海道大学大学院	学生員	ローシャン・トゥラダ (Roshan Tuladhar)
日鉄コンポジット	正会員	小林 朗 (Akira Kobayashi)

1.はじめに

新設コンクリート構造物の耐震性を向上させるためには、帶鉄筋や中間帶鉄筋を密に配筋する必要があるが、施工が困難である。新素材である炭素繊維フレキシブル筋は、強化繊維束を柔軟なプラスティックチューブで覆い、主鉄筋などに巻きつけた後、樹脂を注入して硬化させるというので、現場で施工でき、また柔軟な状態で配筋できるため、鉄筋を密に配置する場合に比べ、施工性に優れている。本研究では橋脚縮小モデルに帶鉄筋として炭素繊維フレキシブル筋を用いた場合の変形特性を明らかにすることを目的とする。

2.炭素繊維フレキシブル筋の材料特性

本研究では、日鉄コンポジット(株)で開発された連続繊維フレキシブル筋(以下CFFR)を使用した。繊維には高強度炭素繊維を使用し、注入樹脂にはビニルエスチルを使用している。チューブの材質はポリ塩化ビニルであり、チューブ厚は1mmである。CFFRの材料特性は、Table 1に後述する。

3.実験概要

3-1.実験供試体

Table 2に全ての供試体の諸元を、またFig.1に供試体の配筋図を示す。なお、CFFRのせん断補強筋比は次式により求めた。

$$p_{CFFS} = \frac{A_{CFFR} \cdot n}{s \cdot B} \quad (1)$$

A_{CFFR} :CFFRの繊維断面積

s :帶鉄筋の配置間隔

B :部材幅

n :帶鉄筋の配置間隔中に配筋されるCFFRの本数

Table 1 Mechanical properties of reinforcement used

Type	Cross section area (mm ²)	Young's modulus (GPa)	Yield strength (MPa)	Yield strain ($\mu \varepsilon$)	Tensile strength (MPa)
Steel	D10	71.3	183	364	1891
	D25	506.7	173	367	2121
CFFR	16.89*	265	-	-	4133

*Cross-sectional area of carbon fiber only

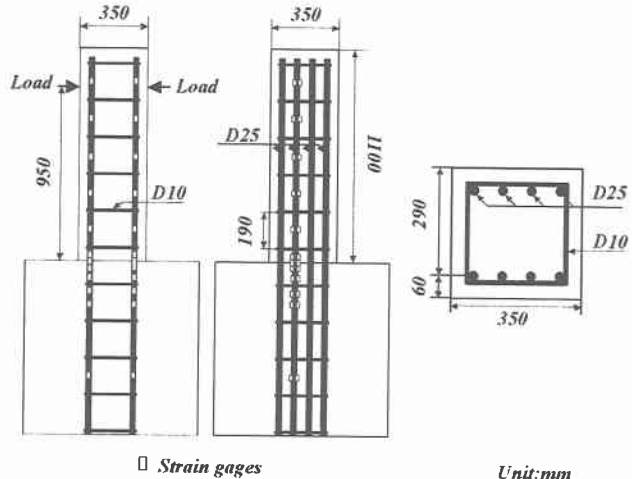


Fig.1 Specimen

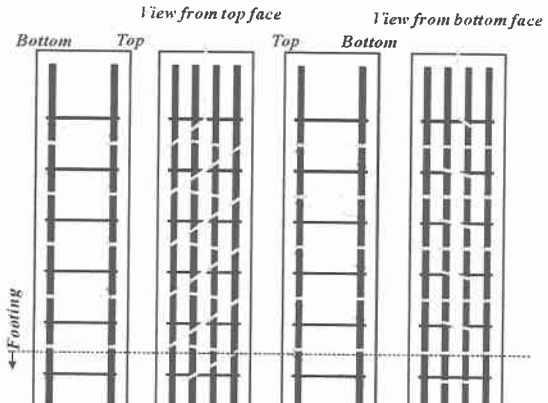


Fig.2 CFFR arrangement in S3 and S4

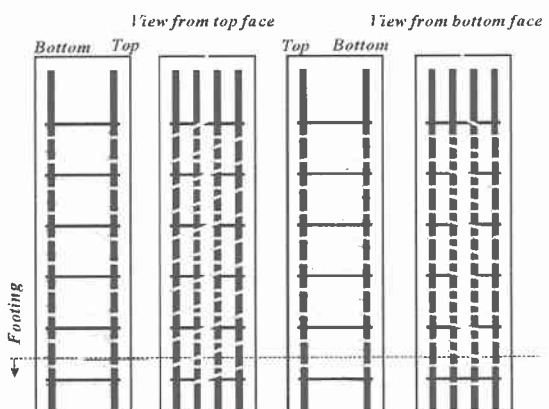


Fig.3 CFFR arrangement in S5

コンクリートは早強ポルトランドセメントを用い、試験日と同日に圧縮強度試験を行った。鉄筋は軸方向鉄筋にD25を計8本、帯鉄筋にD10を19cmピッチで用いた。なお、全ての供試体のせん断スパン比 $a/d=3.28$ 、主筋比2.0%、せん断補強筋比0.21%である。フレキシブル筋の配筋図をFig.2、Fig.3に示す。端部はコンクリート打設前にチューブをはがし、長さ300mm、内径18mmの钢管を通し破碎材を注入することで定着させ、コンクリート打設後にボルトで固定した。S3、S4は同じ配筋を有し、S5はS3、S4の2倍の配筋量を有する。使用した補強筋の力学的特性値はTable 1に示されている。

Table 2 Condition of specimens

Specimen	CFFR ratio P_{CFFR} (%)	Type of loading ¹⁾	Compressive Strength of concrete f'_c (MPa)
S1	-	A	44.7
S2	-	B	40.0
S3	0.1016	A	40.3
S4	0.1016	B	35.1
S5	0.2032	B	35.4

1) A: One-way cyclic loading

B: Reversed cyclic loading

3-2 載荷方法および測定方法

本研究では、300t万能試験機と油圧ジャッキを用いて実験を行った。300t万能試験機は梁部材用であるため、本研究では供試体を横向きに寝かせ、標準径32mmのPC鋼棒4本を用いて基部とベッドを固定し、左右のバランスをとるために反対側に供試体とほぼ同じ重量のコンクリートブロックを設置した(Fig.4)。下方向からの載荷は油圧ジャッキをベッドと供試体との間に設置し、ベッドから押し上げるようにして載荷した。載荷パターンは柱部と基部の境界付近での主鉄筋のひずみが降伏ひずみに達したときの変位を δ_y と定義し、その後 $\pm 2\delta_y$ 、 $\pm 3\delta_y$ …の変位を1回ずつ与えた。試験機と供試体の接合部には、水平方向の変位を拘束しないようにヒンジを介した。なお、本実験では軸力を作用させていない。

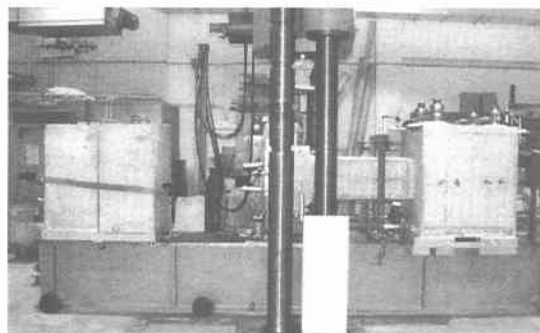


Fig.4 Loading system

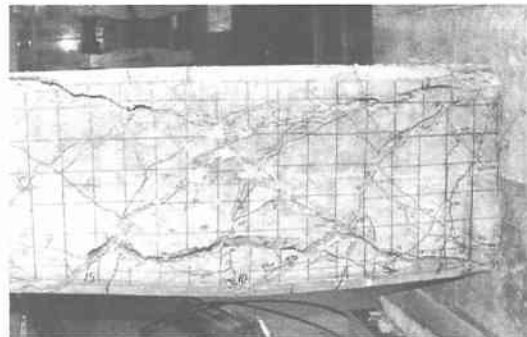
載荷部の変位および主筋、帯鉄筋、CFFRのひずみを測定した。また載荷に伴い、供試体基部に回転が生じることが予想されたため、基部の変位も測定し、載荷部の変位の補正に用いた。

4. 実験結果および考察

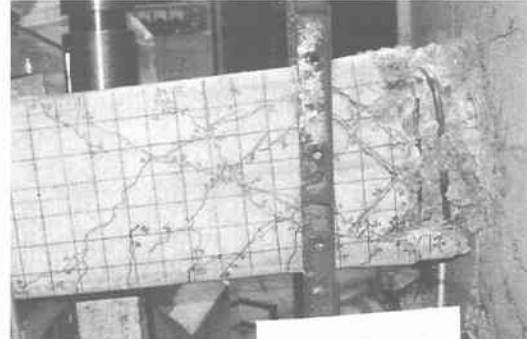
4-1 破壊形状について

全ての供試体は軸方向鉄筋の降伏後、せん断破壊を起こした。CFFRで補強されていない供試体は基部から10~20cm位置でCFFRが破断し、急激に荷重が低下した。破断箇所はいずれも折り曲げ部であった。既往の研究¹⁾からCFFR折り曲げ部では直線部の2~2.5倍程度の応力集中がおこることが知られており、そのために折り曲げ部での破断が生じたと考えられる。

Fig.5に交番載荷を行ったS2とS5の破壊状況を示す。CFFRで補強されていないS2の供試体では破壊に支配的と思われるせん断ひび割れが柱軸方向に広域に渡って生じているが、CFFRで補強されたS5ではせん断ひび割れが基部に比較的近い範囲で生じた。他のCFFRで補強された供試体にも基部付近でのひび割れが多く生じた。



(a) Specimen S2



(b) Specimen S3

Fig.5 Crack pattern after failure

4-2 荷重変位曲線について

Fig.6に繰返し載荷で行った供試体の荷重変位曲線を示す。4 δ_y までは荷重変位曲線に大きな差は見られないが、CFFRで補強されていないS1は4 δ_y 以降荷重が低下はじめるのに対し、CFFRで補強されているS3は4 δ_y 以降も荷重があがりつけ、7 δ_y に到達する手前でCFFRの破断により荷重が急激に減少している。

Fig.7に交番載荷で行った供試体の荷重変位曲線を示す。CFFRで補強されていない供試体S2は、2 δ_y 終了後荷重が急激に低下したのに対し、S4、S5は6 δ_y までほぼ同じ勾配で荷重が増加している。S4は6 δ_y でCFFRの破断により荷重が急激に低下している。それに対しS5は、6 δ_y 以降荷重が徐々に低下し、8 δ_y でCFFRの破断

により荷重が急激に落ちている。これは S5 のせん断補強筋に囲まれている内部コンクリートが S4 と比べ劣化が激しくなっていることが観察できたことから、内部コンクリートが $6\delta_y$ 以降荷重を受け持てなくなつたことが原因の一つと考えられる。

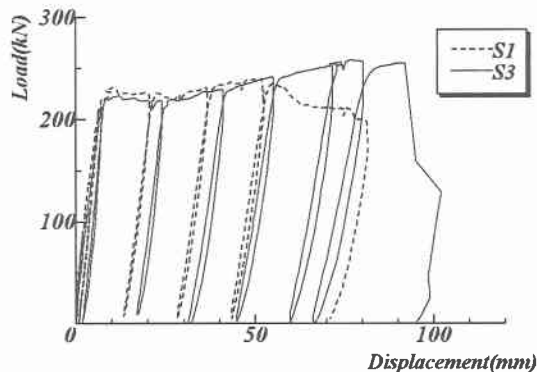
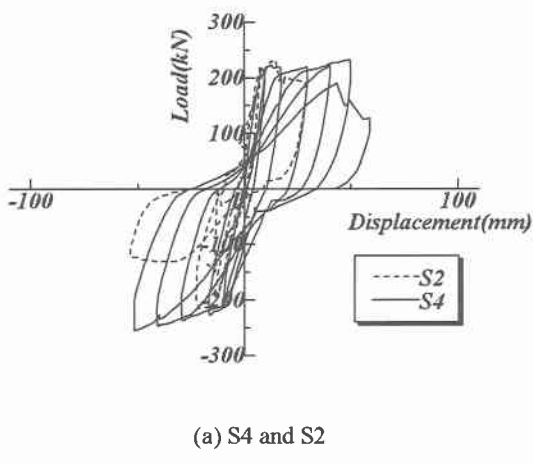
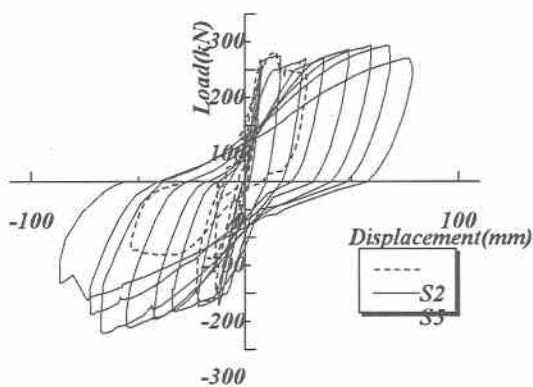


Fig.6 Load-displacement curve of S1 and S3



(a) S4 and S2



(b) S5 and S2

Fig.7 Load-Displacement curve

最大荷重は無補強の供試体と比べ、S3 で 8%、S4 で 9%、S5 で 15% の増加があった。これに対し、最大荷重変位は無補強の供試体と比べ、単調載荷で行った S3 で 1.5 倍、S3 と同量の CFFR 補強で交番載荷を行った S4 で 3.5 倍、S4 の 2 倍の CFFR 補強量である S5 で 4.6 倍と飛躍的に

増加した。このことに関する考察は後述する。なお、ここで用いる全ての変位は、載荷時に生じる基部の回転、および主鉄筋が基部から抜け出したことによる影響を考慮し、補正したものである。

4.3 CFFR のひずみ分布について

Fig.8、Fig.9、Fig.10 に CFFR で補強された供試体 S3、S4、S5 の載荷方向に平行に配筋された CFFR のひずみ分布を示す。供試体 S3 を除き、基部から 20cm までの範囲で大きなひずみが発生しており、基部に比較的近いところでのひび割れが大きく、またその周辺で CFFR が破断していた事実と一致する。なお、供試体 S3 は、基部から 20cm 付近のひずみゲージが破損し、大きなひずみを計測できなかったため、他と異なるように見える。

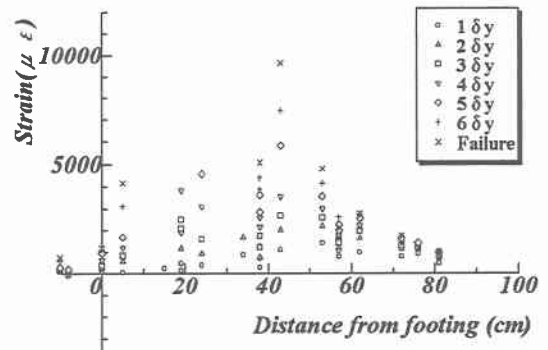


Fig.8 Strain in CFFR (S3)

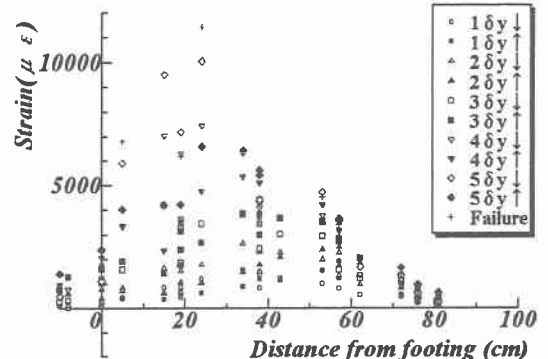


Fig.9 Strain in CFFR (S4)

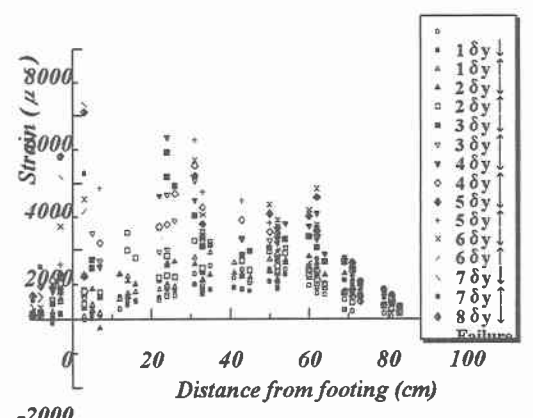


Fig.10 Strain in CFFR (S5)

既往の研究¹⁾から、CFFR はチューブとその内部の炭素繊維との表面の付着抵抗が小さく繊維が滑るため、応力がひび割れ部に集中せず、ひずみが折り曲げ部を超えて伝達することが知られている。また、折り曲げ部ではある一定の割合でひずみが低減されることも示されている。今回の実験結果でも、柱全体に渡り一様なひずみが発生するのではなく、斜めひび割れが卓越する位置でのひずみが大きくなり、そこから離れるに従いひずみが小さくなる。すなわち、付着力が小さくても、曲げ部で引張力の低減が期待できる。

4-4 韧性率評価式とその比較

本研究で扱う韌性率 μ_{sf} は、降伏点の耐力 P_y (軸方向引張鉄筋が降伏したときの荷重) を保持できる限界変位 δ_{limit} を降伏変位 δ_y (軸方向引張鉄筋が降伏したときの載荷部の変位) で除したものとした。Table 3 に各供試体の降伏点の耐力、限界変位、降伏変位、韌性率を示す。単調載荷では CFFR を補強することによる韌性率の増加は小さいが、交番載荷では明確な増加が見られた。また、CFFR の補強量を 2 倍にすることで韌性率が 1.4 倍程度の増加があった。このことから CFFR の補強は韌性能の向上に有効であるといえる。

Table 3 Experimental results

Specimen	Type of loading	P_y (kN)	δ_{limit} (mm)	δ_y (mm)	μ_{sf}
S1	One-way cyclic	210	6.40	76.63	11.98
S3		212.52	7.25	91.90	12.68
S2-Up*	Reversed	196.52	14.03	22.55	1.61
S2-Down**		218.4	7.34	14.63	1.99
S4-Up	cyclic	209.09	9.91	51.60	5.21
S4-Down		217.72	8.19	49.47	6.04
S5-Up		220.27	12.21	72.22	5.92
S5-Down		211.84	7.90	76.70	9.71

*Load was applied upward

**Load was applied downward

Fig.11 に土木学会で提案されている韌性率評価式(式2)から得られた計算値と正負交番で行った供試体 S2、S4、S5 の韌性率を比較する。この韌性率評価式は鉄筋コンクリート部材に対するもので、コンクリートの分担せん断力 V_c 、帯鉄筋の分担せん断力 V_s と曲げ耐力 V_{mu} との耐力比の関数で示されている。また、この式は既往の研究の実験結果から得られた予測式で、韌性率にして実験値との比で約 0.5~1.5 倍のばらつきが生じている。Fig.11 では、ばらつきの範囲の境界線を破線で示している。詳細は参考文献²⁾を参照されたい。計算値はせん断補強鉄筋比 p_w 以外を全て同じ値とし、 p_w を変数として求めた。つまり、CFFR と同量の補強を帯鉄筋で行った場合の韌性率を計算し、実験値と比較するものである。

$$\mu_0 = 12 \left(\frac{0.5V_c + V_s}{V_{mu}} \right) - 3 \quad (2)$$

CFFR での補強を行っていない S2 では、実験値が計算値の 36% と大幅に下回ったが、CFFR で補強した S4、S5 では、S4 で計算値の 82%、S5 で計算値の 90% の韌性率を得た。また、S2 は下限値の破線を下回る結果を得たが S4、S5 はの範囲内であり、S2 を基準に考えると同量の帯鉄筋を補強する場合より大きい韌性率が期待できる可能性がある。

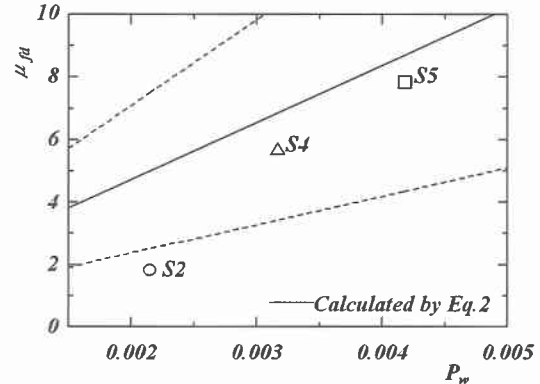


Fig.11 Ductility and shear reinforcement ratio

5.まとめ

CFFR で補強されたコンクリート橋脚の変形特性を実験的に明らかにするため、CFFR の補強量をパラメータとした CFFR 補強橋脚の単調および交番載荷を行った。本実験から得られた結果は以下の通りである。

- (1) CFFR を補強することで、最大荷重および最大荷重変位を増加することが出来た。
- (2) CFFR で補強されていない供試体は破壊に支配的な斜めひび割れが広域に渡って生じたが、CFFR で補強された供試体は基部に比較的近い範囲で多くのひび割れが生じた。
- (3) CFFR を補強することで、韌性率を大幅に増加させる結果を得た。
- (4) 既往の研究より CFFR は、チューブとその内部の炭素繊維との表面の付着抵抗が小さく繊維が滑るため、ひずみが分散されることが知られているが、本実験では、付着力が小さくても、曲げ部で引張力の低減が期待できる結果を得た。
- (5) CFFR を補強することで、CFFR と同量の帯鉄筋を補強した場合に比べ、大きい韌性率が期待できる可能性がある。

謝辞: 本研究を進めるにあたり、㈱日鉄コンポジットの杉山哲也氏、北海道工業大学の今野克幸助教授ならびに同研究室の学生の方々には多大なる御協力を頂きました。ここに記し、謝辞とさせて頂きます。

参考文献

- 1) 富田早季:連続繊維フレキシブル筋のせん断補強効果に関する研究、北海道大学大学院修士論文 1999.3
- 2) 土木学会:阪神淡路大震災被害分析と韌性率評価式、コンクリート技術シリーズ、No.12、pp.63-69、1996